

超小型電算機による構造解析プログラム

法政大学 正員 大地 幸三

1 まえがき

超小型電算機のハードウェアの進歩がめざましいものがあり、十数年前には大型機の種類に入れられた程度のメモリーと計算速度を持つものが出現している。しかも、一年毎に新しい型式の発表があり、将来どのようなものが予想も立てがたい状態である。しかし、この種のソフトウェアの開発は従来のものと考えられていたため、ほとんど年がたつていない。著者等は、数年来、超小型電算機による構造解析や自動計算のプログラムのどのような保存法が有効かという問題について検討を加えてきた。幸い、昨年度の科学技術研究費の補助を受けよることができたので、早速プログラムの作成し、理論の検証を行ったのを発表する。使用した超小型電算機は64K Byteのメモリーの他に、320K Byteのフロッピーディスク2台を具えたものであり、使用した言語は倍精度演算が可能な拡張型のBASICである。

要法あるいは有限要素法で構造解析を行うためには、次のステップが重要である。

- (1) データの入力 (2) 要素の剛性行列作成 (3) 全体の剛性行列作成 (4) 支変処理
- (5) 全体の剛性行列の三角化 (6) 荷重データの入力 (7) 前進代入と後退代入 (8) 断面力の計算

また、自動設計では

- (9) 骨格線の計算 (10) 最大最小断面力計算 (11) 変力の計算 (12) 応力の計算

の他に、入力データの省力化、出力の簡化等についての検討が必要である。これらの各項目の結論の生じたものについて報告する。

又、要素の剛性行列および全体の剛性行列作成

片端の条件(たとえばヒンジ端、剛域その他)によつて、別々の剛性行列を用意すると、サブルーチンがなくなり、メモリーを圧縮する原因になる。したがつて、出来るだけ片端範囲の広い剛性行列を用意する必要があったが、これについての結論は、本年度の土木学会年次学術講演会で報告済みなので省略する。全体の剛性行列も必要なものだけをメモリーに格納することはした。たとえば、

図1(A)に示す剛性行列は、対角小行列と非対角小行列に分けて、図1(B)のようは格納し、同一行の小行列は対角小行列から初まりポイントして

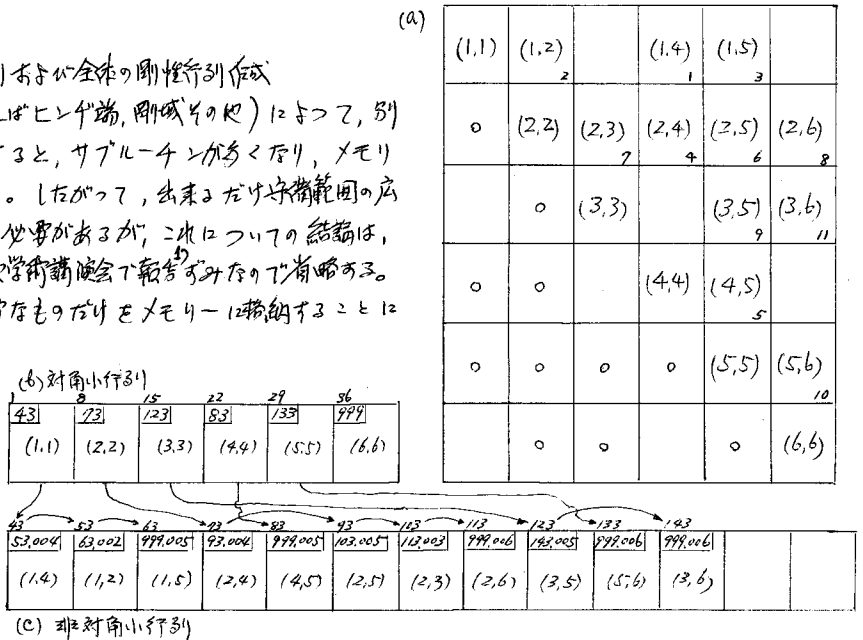


図1 全体剛性行列の格納法

- 1) 大地 "超小型電算機の省ための剛性行列作成" 土木学会年次学術講演会予稿集 I-21 (79)
- 2) 大地 "マトリックス法による構造計算の汎用プログラム" 同上 I-39 (72)

結合し、非対角小行列の列番号は、それらがポインターの小数点以下3桁の数字で示すこととした。これにより必要最小限度の小行列だけメモリーに格納すればよいこととなる。三角化の途中であらかじめ非電小行列が現れれば、その時点でメリーに追加すればよい。

3. 変換処理と三角化

変換処理に対しては無限大のばねを積極的に取り入れることとした。とくにこのようにしなくてはならない理由はないが、反力の影響を計算に有理ではなかつた判断があつたからである。変換の支持方向が全体座標方向と異なると、局所座標方向の無限大のばねを全体座標方向に座標変換して、全体剛性行列に加ふこととした。この場合にありかたを桁落ちに対する処置については、昨年の土木学会年次学術講演会で報告済みである³⁾。

全体剛性行列の三角化にあつては、70%の分割に有利なウエイブ・フロント法を採用してゐる。ただし要素単位の計算ではなく、全体剛性行列の格納方法と対応するように、三角化法のルーチンと小行列単位で計算できるように改良したものを採用してゐる。

4. 部材荷重の処理

剛性行列の元数を2倍にすると、連立一次方程式の計算所要時間は $2^3=8$ 倍、固有ベクトルの計算所要時間は $2^2=16$ 倍になるといふことになる。超小型電算機では、メモリーの節約もさることながら、計算時間についても厳重にチェックが必要である。この理由からも構造物の節点数はできるだけ少くすべきであるが、このようにすると荷重は、節点にはおきなく、部材の中間に作用させる必要がある。部材荷重は節点荷重に比べてその処理が格段に複雑であるが、計算所要時間を減らすためには、やむを得ない処置であると考へてゐる。

有限要素法も含めて、変形法では、部材の中間に作用する荷重は、図2の(a)、(c)のように分解して計算してゐる。すなわち、荷重を全長部材の両端固定ばりとして取り扱って固定端断面力を求め、この固定端断面力の符号を変えたものを節点に作用させる。全体剛性行列を係数行列として連立一次方程式を解いて得られた結果、すなわち節点変位は、図(c)に対するものであるが、これは図(a)の節点変位に等しい。しかし、部材中間の変位および断面力は、図(c)の結果に対するものに、図(b)の変位および断面力を加ふないと、図(a)の解にはならない。

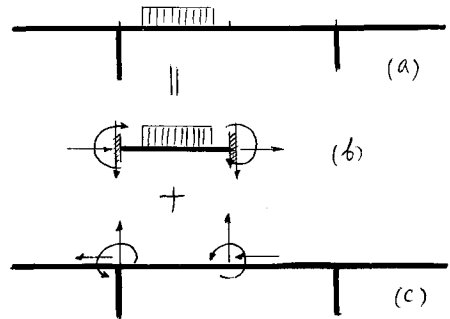


図2 部材荷重の分解

固定端断面力や部材中間の変位および断面力を求める方法は色々考えられるが、L⁴の3次元法の公式を用いた方法が理解しやすいであろう。ただし、L⁴の3次元法と変形法では、断面力の符号の定義が異つてゐるので注意か

ただし

$$\begin{aligned}
 U_0(x) &= \int_0^x \frac{x-z}{EA} p_0(z) dz & V_0(x) &= \int_0^x \frac{(x-z)^2}{6EI} p_0(z) dz \\
 \theta_0(x) &= \int_0^x \frac{(x-z)^2}{2EI} p_0(z) dz & N_0(x) &= \int_0^x p_0(z) dz \\
 S_0(x) &= \int_0^x p_0(z) dz & M_0(x) &= \int_0^x \frac{x-z}{EI} p_0(z) dz
 \end{aligned}$$

$$\begin{bmatrix} U \\ V \\ \theta \\ N \\ S \\ M \end{bmatrix} = \begin{bmatrix} 1 & 0 & 0 & X/EA & 0 & 0 \\ 0 & 1 & X & 0 & -X^3/6EI & -X^2/2EI \\ 0 & 0 & 1 & 0 & -X^2/2EI & -X/EI \\ \hline 0 & 0 & 0 & 1 & 0 & 0 \\ 0 & 0 & 0 & 0 & 1 & 0 \\ 0 & 0 & 0 & 0 & X & 1 \end{bmatrix} \begin{bmatrix} U_a \\ V_a \\ \theta_a \\ -N_a \\ -S_a \\ M_a \end{bmatrix} + \begin{bmatrix} -U_0(x) \\ V_0(x) \\ \theta_0(x) \\ -N_0(x) \\ -S_0(x) \\ -M_0(x) \end{bmatrix} \quad \text{--- (1)}$$

3) 大地"拘束条件の実際の処理" 土木学会年次学術講演会 I-20 (79)

必要である。

たとえば、平面構造物に含められた節点の場合であれば、レザン法の公式は式(1)のよう書きける。図(6)の両端固定ばりの場合は、 u_a, v_a, θ_a が 0 であるから、式(1)は式(2)のよう変形できるし、さらにこれより

$$\begin{bmatrix} U \\ V \\ \theta \\ N \\ S \\ M \end{bmatrix} = \begin{bmatrix} -\frac{1}{EA} & 0 & 0 \\ 0 & \frac{1}{6EI} & -\frac{1}{2EI} \\ 0 & \frac{1}{2EI} & -\frac{1}{EI} \\ -1 & 0 & 0 \\ 0 & -1 & 0 \\ 0 & -\lambda & 1 \end{bmatrix} \begin{bmatrix} N_{fa} \\ S_{fa} \\ M_{fa} \end{bmatrix} + \begin{bmatrix} -u_b(x) \\ v_b(x) \\ \theta_b(x) \\ -N_b(x) \\ -S_b(x) \\ -M_b(x) \end{bmatrix} \quad \text{--- (2)}$$

$$\begin{bmatrix} N_{fa} \\ S_{fa} \\ M_{fa} \end{bmatrix} = - \begin{bmatrix} EA/\lambda & 0 & 0 \\ 0 & -12EI/\lambda^3 & 6EI/\lambda^2 \\ 0 & 6EI/\lambda^2 & 2EI/\lambda \end{bmatrix} \begin{bmatrix} u_b(l) \\ v_b(l) \\ \theta_b(l) \end{bmatrix} \quad \text{--- (3)}$$

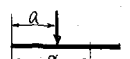
$$\begin{bmatrix} N_{fb} \\ S_{fb} \\ M_{fb} \end{bmatrix} = - \begin{bmatrix} EA/\lambda & 0 & 0 \\ 0 & 12EI/\lambda^3 & -6EI/\lambda^2 \\ 0 & -6EI/\lambda^2 & 4EI/\lambda \end{bmatrix} \begin{bmatrix} u_b(l) \\ v_b(l) \\ \theta_b(l) \end{bmatrix} + \begin{bmatrix} N_b(l) \\ S_b(l) \\ M_b(l) \end{bmatrix} \quad \text{--- (4)}$$

固定端内力を求めると式(3)、(4)が得られる。また節点中肉に荷重が作用し、右端の変位が与えられたり、この場合は、式(1)は式(5)のよう変形される。(左に式を簡略化するために $\eta = \lambda l$ とおいた)

$$\begin{bmatrix} U \\ V \\ \theta \\ N \\ S \\ M \end{bmatrix} = \begin{bmatrix} 1-\eta & 0 & 0 & \eta & 0 & 0 \\ 0 & (1-3\eta^2+2\eta^3) & (\eta^2-2\eta^3) & 0 & (3\eta^2-2\eta^3) & (\eta^3-\eta^2)\lambda \\ 0 & -\frac{6}{\lambda}(\eta-\eta^2) & (1-4\eta+3\eta^2) & 0 & \frac{6}{\lambda}(\eta-\eta^2) & (2\eta^2-3\eta^3) \\ -1 & 0 & 0 & 1 & 0 & 0 \\ 0 & -12EI/\lambda^3 & -6EI/\lambda^2 & 0 & 12EI/\lambda^3 & -6EI/\lambda^2 \\ 0 & \frac{6EI}{\lambda^2}(1-2\eta) & \frac{2EI}{\lambda}(2-3\eta) & 0 & -\frac{6EI}{\lambda^2}(1-2\eta) & \frac{2EI}{\lambda}(1-3\eta) \end{bmatrix} \begin{bmatrix} u_a \\ v_a \\ \theta_a \\ u_b \\ v_b \\ \theta_b \end{bmatrix} \quad \text{--- (5)}$$

したがって、節点荷重が作用した平面構造物では、i) 式(3)、(4)で求めた両端断面力の符号と等しい荷重も節点に作用して、ii) 節点方程式を解き、iii) 得られた節点変位を用いて式(5)より節点中肉の変位および断面力を求め、iv) これを式(2)で計算された両端固定ばりの変位および断面力を加えて初めて解が得られる。この手順は、節点荷重に比べて格段に複雑であるが、メモリー、計算時間を節約するために、この順序の計算の複雑さはおぼえておく必要がある。なお式(2)~(4)の計算には、 $u_b(x) \sim v_b(x)$ の必要であるが、これに含めらる $\int_0^x (x-\xi)^n p(\xi) d\xi$ の値は、荷重の種類に応じて表1のようになる。

表1 $\int_0^x (x-\xi)^n p(\xi) d\xi$ の値

	$x \leq a$	$a < x \leq b$	$b < x$
	0	$(x-a)^n P$	$(x-a)^n P$
	0	$\frac{(x-a)^{n+1}}{n+1} p$	$\frac{(x-a)^{n+1} - (x-a-b)^{n+1}}{n+1} p$
	0	$\frac{(x-a)^{n+2}}{(n+1)(n+2)} p$	$\left\{ \frac{(x-a)^{n+2} - (x-a-b)^{n+2}}{(n+1)(n+2)} - \frac{(x-a-b)^{n+1}}{n+1} \right\} p$

5 影響線の計算

土木構造物の自由設計の場合には、必ずといってよいほど、断面力の影響線の計算が必要である。従来は、この計算にミューラー-ブレスラーの原理を用いるか、全体剛性行列の逆行列を計算する方法が用いられてきた。しかし前者は構造物を改造しなくてはならないので計算時間に難儀がふえ、

後者は、剛性行列のスパースライズ法に依りてはメモリーに難儀がある。最近の研究では、数年前に、自己釣合状態にある特殊な荷重と作用させるとよって、構造物を改造することなしに影響線を求める方法を考案し、土木学会の年次学術講演会に報告した。今回はこれを拡張し、着目荷重の中肉にある場合の影響線を計算する手法を開発した。この方法によれば、自己釣合状態にある単層荷重を節点に作用させるときのたわみ曲線を求めるだけで影響線が得られる。ただし、着目荷重については図(2)と同じ主旨のたわみ曲線の改造が

4) 山下久保 "変形法プログラムの影響線の求め方について" 土木学会年次学術講演会 I-26 (75)

必要である。

図3の(a), (b)に示す2組の荷重系の向う仮想仕事の原理を用いると

$$\bar{P}V = \int_0^l \frac{M\bar{m}}{EI} dx = \frac{l}{EI} \int_0^l \{M_a(1-\eta) - M_b\} \{a(1-\eta) - b\eta\} d\eta$$

$$= \frac{l}{6EI} \{M_a(2a-b) + M_b(2b-a)\} \quad \text{---(6)}$$

図(b)の荷重は自己釣合の状態にあるので、上式右辺の積分は着目部材にのみ行って実行すればよい。

式(6)の右辺が、図3(a)の着目点(x印)の曲げモーメント、 $M_3 = M_a(1-\frac{x}{l}) - M_b$ 、に等なるためには

$$a = (4-b)\frac{EI}{l}, \quad b = (2-b)\frac{EI}{l}, \quad \frac{a+b}{l} = (6-2b)\frac{EI}{l^2} \quad \text{---(7)}$$

であらばよいし、また、式(6)の右辺が着目点のせん断力 $(M_a + M_b)/l$ に等なるためには

$$a = -\frac{6EI}{l^2}, \quad b = -\frac{6EI}{l^2}, \quad \frac{a+b}{l} = -\frac{12EI}{l^3} \quad \text{---(8)}$$

であらばよい。すなわち、式(7), (8)を節長荷重として截荷したときの構造物のたわみ曲線が、それぞれ着目点の曲げモーメントおよびせん断力の影響線に一致する。軸力についても同様の議論が成り、図4の a', b' とし、導き出され、 $a' = -EA/l, b' = EA/l$ 、を用いればよいことと結論される。各部材中向うのたわみ曲線は式(5)の2次式で計算すればよい。

以上のようにして求めた影響線は、着目部材以外では正確なものであすが、着目部材の影響線は、この区間に単位荷重が載った場合と想定していいので、図2と同様の理由により、両端固定ばりの影響線(表2)を加之すれば存する。この表は、部材の9L長に単位集中荷重が作用するのととして、式(3), (2)より着目点(3L長)の断面力を計算すれば求められる。各力の影響線に付いても、計算法は求めてあるが、省略していいので、今回は省略する。

6. あとがき

以上の議論に下加つて、超小型電算機のプログラムを作成して数値実験を行っている。解析用のプログラムは、OS, BASIC言語のアセンブラを含めても、350K Byteのフロッピーディスク1枚でまぶか存りの余裕がある(現在は、振動解析のプログラムを含めて1枚のディスクを使用している)。次のディスクには、プロック分割をして計算を進めた場合の計算途中のデータ、入力データおよび出力データ等の格納されている。どの程度の規模までの計算が出来たかについては、まだ十分な検証を行っていないが、コアメモリを使用した場合、千重折の塔で求めた2千節長は解に解ける。プロック分割して次のディスクを使用すれば、この十数倍は可能である。計算時間は、中型の電算機で1秒の計算が1分かかると思えばまだかゝる。これは今年度末には、ハードウェアの改良によって数倍早く行う予定であるとのことである。

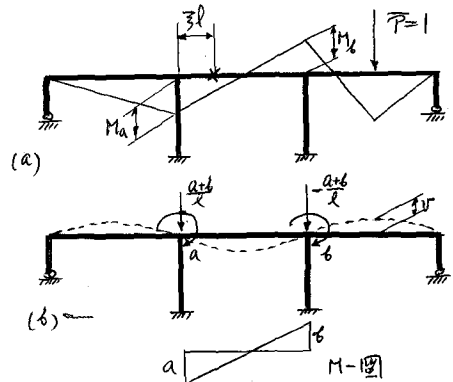


図3 曲げモーメントおよびせん断力の影響線を求める荷重

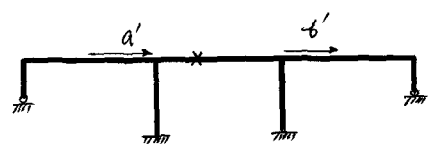


図4 軸力の影響線を求める荷重

表2 両端固定ばりの影響線

	軸力	せん断力	曲げモーメント
$\eta \leq \frac{1}{3}$	$-\eta$	$-\eta^2(3-2\eta)$	$l\eta^2(2-3\eta+2\eta^2)$
$\frac{1}{3} < \eta$	$1-\eta$	$(1-\eta)^2(1+2\eta)$	$l(1-\eta)^2(3-\eta+2\eta^2)$